



NetWorks Sp. z o.o.
Laboratorium Badań Środowiskowych
ul. Józefa Piusa Dziekońskiego 3
00-728 Warszawa
e-mail: Laboratorium@networks.pl



AB 419

S P R A W O Z D A N I E 1301/2024/OS
Z POMIARÓW PÓL ELEKTROMAGNETYCZNYCH
WYKONANYCH DLA POTRZEB OCHRONY ŚRODOWISKA

Badany obiekt: Instalacja radiokomunikacyjna Orange Polska S.A.
Numer i nazwa: 1925 (27146N!) ŚWIĘTY KRZYŻ (KKI_NOWASLUPIA_SWIETYKRZYZ)
Adres: ŁYSA GÓRA K/NOWEJ SŁUPII, BIELINY DZ.2002,KIELECKI, ŚWIĘTOKRZYSKIE

Data wykonania pomiarów: 2024-04-08

Sprawozdanie z badań bez pisemnej zgody laboratorium nie może być powielane inaczej niż w całości.
Wynik przedstawione w niniejszym sprawozdaniu odnoszą się wyłącznie do badanego obiektu i do warunków i konfiguracji urządzeń w dniu wykonywania pomiarów.

1. Właściciel badanego obiektu:

Orange Polska S.A., Al. Jerozolimskie 160, 02-326 Warszawa

2. Zleceniodawca:

Orange Polska S.A., Al. Jerozolimskie 160, 02-326 Warszawa

3. Przedstawiciel zleceniodawcy:

NetWorks Sp. z o.o.

4. Zakres zlecenia:

Wykonanie badania i opracowanie sprawozdania z pomiarów natężenia pola elektrycznego i pola magnetycznego dla instalacji radiokomunikacyjnej Orange Polska S.A. zlokalizowanej w miejscowości ŁYSA GÓRA K/NOWEJ SŁUPII, BIELINY DZ.2002.

5. Cel zlecenia:

Wykonanie pomiarów pól elektromagnetycznych w otoczeniu instalacji radiokomunikacyjnej 1925 (27146N!) ŚWIĘTY KRZYŻ (KKI_NOWASLUPIA_SWIETYKRZYZ) w odniesieniu do wymagań określonych w *Rozporządzeniu Ministra Klimatu z dnia 17 lutego 2020 r. w sprawie sposobów sprawdzania dotrzymania dopuszczalnych poziomów pól elektromagnetycznych w środowisku (Dz.U. 2022 poz. 2630)*.

6. Pomiary zostały wykonane przez:

Papka Paweł
Stanisławek Jakub

7. Informacje o źródłach pól elektromagnetycznych

7.1. Sposób identyfikacji badanych źródeł pól elektromagnetycznych

Identyfikacji źródeł i parametrów technicznych dokonano na podstawie analizy dokumentacji dotyczącej zlecenia oraz obserwacji miejsca wykonywania badań.

7.2. Opis miejsca zainstalowania anten i urządzeń technicznych. Opis obiektu badań i jego otoczenia

Instalacja radiokomunikacyjna zlokalizowana jest na terenie ogrodzonym. Anteny zawieszono na wspornikach przytwierdzonych do elewacji budynku. Urządzenia sterujące oraz zasilające zainstalowano w pomieszczeniu w budynku. Wokół instalacji znajdują się tereny zielone, lasy. Instalacja radiokomunikacyjna jest obiektem bezobsługowym. Okresowe stanowiska pracy związane są z prowadzonymi w zależności od potrzeb konserwacjami, przeglądami, strojeniem i naprawami.

7.3. Parametry techniczne źródła pola elektromagnetycznego

Dane przedstawiające maksymalne parametry pracy instalacji przekazane przez zleceniodawcę:

Parametry systemu nadawczo-odbiorczego:

Charakterystyka promieniowania		kierunkowa					
Rzeczywisty czas pracy [h/dobę]		24					
Warunki pracy		znamionowe					
Rodzaj wytwarzanego pola		stacjonarne					
Lp.	Częstotliwość lub zakresy częstotliwości pracy [MHz]	Typ/producent anteny	liczba anten	Azymut [°]	kąt pochylenia [°]	Wysokość środka elektrycznego anteny [m n.p.t]	Równoważna moc promieniowana izotropowo (EIRP) [W]
1	800/900/1800/2100/2600	ASI4518R39v07 Huawei	1	10	5-20**/5-20**/5-20**	47	33055
2	800/900/1800/2100/2600	ASI4518R39v07 Huawei	1	130	5-20**/5-20**/5-20**	47	34383
3	800/900/1800/2100/2600	ASI4518R39v07 Huawei	1	250	5-20**/5-20**/5-20**	47	34383

* wskazane wartości kąta pochylenia anten, zgodnie z informacją uzyskaną od zleceniodawcy, są wartościami stałymi

** pomiary wykonano zgodnie z pkt 13., ppkt 2 załącznika do Rozporządzenia Ministra Klimatu z dnia 17 lutego 2020 r. (Dz. U. 2022, poz. 2630).

Parametry radiolinii:

Charakterystyka promieniowania				kierunkowa			
Rzeczywisty czas pracy [h/dobę]				24			
Warunki pracy				znamionowe			
Rodzaj wytwarzanego pola				stacjonarne			
Lp.	Linia radiowa			Antena			
	Typ/ Producent	Częstotliwość pracy [GHz]	Równoważna moc promieniowana izotropowo (EIRP) [W]	Typ/ producent	Średnica anteny [m]	Azymut [°]	Wysokość zainstalowania n.p.t [m]
1.	RTN XMC-3 23G 28MHz XPIC<w:br/>RTN 380AX DC 70/80GHz 250MHz Huawei	23/80	4084/6310	A23D80S06 Huawei	0.6	228	48
2.	RTN XMC-5D 23G 28MHz XPIC Huawei	23	6325	A23D06 Huawei	0.6	359	48

7.4 Inne źródła pól elektromagnetycznych

Na podstawie informacji otrzymanych od użytkownika oraz obserwacji otoczenia miejsca wykonywania pomiarów stwierdzono występowanie innych źródeł pola-EM, pracujących w systemie: RTV (87,5MHz-790MHz), telefonii komórkowej (800MHz-2600MHz), niepublicznych sieci radiokomunikacyjnych (40MHz-470MHz), linii radiowych (5GHz – 90GHz), które istotnie wpływają na wyniki pomiarów.

Sprawozdanie z badań bez pisemnej zgody laboratorium nie może być powielane inaczej niż w całości.
 Wynik przedstawione w niniejszym sprawozdaniu odnoszą się wyłącznie do badanego obiektu i do warunków i konfiguracji urządzeń w dniu wykonywania pomiarów.

8. Opis pomiarów

8.1. Metoda badań

Zgodna z rozporządzeniem Ministra Klimatu z dnia 17 lutego 2020 r. w sprawie sposobów sprawdzania dotrzymania dopuszczalnych poziomów pól elektromagnetycznych w środowisku (Dz.U. 2022 poz. 2630), określona w pkt 25 ppkt 1 załącznika do niniejszego rozporządzenia.

8.2. Termin pomiarów i warunki środowiskowe

Podczas wykonywania pomiarów pól elektromagnetycznych nie występowały opady atmosferyczne. Wyniki pomiaru parametrów pogodowych przedstawia poniższa tabela:

Data [rrrr-mm-dd]	Godzina [hh:mm-hh:mm]	Warunki środowiskowe			
		Temperatura [°C]		Wilgotność względna [%]	
2024-04-08	12:45-14:15	Przed pomiarem	Po pomiarach	Przed pomiarem	Po pomiarach
		23.5	24.3	53.9	53.2

Przedstawione wyżej warunki środowiskowe, występujące podczas wykonywania pomiarów pól elektromagnetycznych, są zgodne ze specyfikacją techniczną użytego zestawu pomiarowego.

8.3. Warunki pracy urządzeń nadawczych

Podczas pomiarów w przypadku uzyskania wyniku pomiaru szerokopasmowego wykonanego zastosowaną metodą, dla zakresów częstotliwości od 10 MHz do 300 GHz, powiększonego o rozszerzoną niepewność pomiaru U dla współczynnika rozszerzenia $k = 2$ przekraczającego 70% najniższej dopuszczalnej wartości składowej elektrycznej lub magnetycznej pola dla objętych pomiarami zakresów częstotliwości, uwzględnia się poprawki pomiarowe przekazane przez zleceniodawcę, umożliwiające uwzględnienie maksymalnych parametrów pracy instalacji zgodnie z pkt 7 załącznika do Rozporządzeniem Ministra Klimatu z dnia 17 lutego 2020 r. w sprawie sposobów sprawdzania dotrzymania dopuszczalnych poziomów pól elektromagnetycznych w środowisku (Dz. U. 2022, poz. 2630) zaznaczając, że wymagane jest wykonanie pomiaru z wykorzystaniem miernika selektywnego. W przypadku uzyskania wyniku pomiaru szerokopasmowego wykonanego zastosowaną metodą, dla zakresów częstotliwości od 10 MHz do 300 GHz, powiększonego o rozszerzoną niepewność pomiaru U dla współczynnika rozszerzenia $k = 2$ nieprzekraczającego 70% najniższej dopuszczalnej wartości składowej elektrycznej lub magnetycznej pola dla objętych pomiarami zakresów częstotliwości, nie uwzględnia się poprawek pomiarowych.

8.4. Wyposażenie pomiarowe

Zestaw pomiarowy służący do pomiaru natężenia składowej elektrycznej pola elektromagnetycznego złożony z szerokopasmowego miernika i sondy pomiarowej:

Oznaczenie miernika	Producent	Model	Numer fabryczny	Oznaczenie sondy	Producent	Model	Numer fabryczny
MF-02	Narda Safety Test Solution	Miernik pól elektromagnetycznych Narda FieldMan	B-0120	SF-04	Narda Safety Test Solution	Sonda EFD-0691	A-0156

Mierniki natężenia pola elektromagnetycznego podlegają okresowemu sprawdzeniu zgodnie z procedurą wewnętrzną P-03 i PB-01. Świadectwo wzorcowania zestawu pomiarowego z dnia 6 grudnia 2023 o numerze LWiMP/W/465/23 wydane przez Politechnika Wrocławską.
Data ważności świadectwa wzorcowania: 6 grudnia 2025 (zgodnie z procedurą wewnętrzną P-03).

Oznaczenie miernika	Producent	Model	Numer fabryczny	Oznaczenie sondy	Producent	Model	Numer fabryczny
MF-02	Narda Safety Test Solution	Miernik pól elektromagnetycznych Narda FieldMan	B-0120	SF-03	Narda Safety Test Solution	Sonda EFD-6091	A-0061

Mierniki natężenia pola elektromagnetycznego podlegają okresowemu sprawdzeniu zgodnie z procedurą wewnętrzną P-03 i PB-01. Świadectwo wzorcowania zestawu pomiarowego z dnia 6 grudnia 2023 o numerze LWiMP/W/465/23 wydane przez Politechnika Wrocławską.
Data ważności świadectwa wzorcowania: 6 grudnia 2025 (zgodnie z procedurą wewnętrzną P-03).

Sprawozdanie z badań bez pisemnej zgody laboratorium nie może być powielane inaczej niż w całości.
Wynik przedstawione w niniejszym sprawozdaniu odnoszą się wyłącznie do badanego obiektu i do warunków i konfiguracji urządzeń w dniu wykonywania pomiarów.

Termohigrometr:

Oznaczenie:	TH-29	Producent:	AZ INSTRUMENT CORP	Model:	Termohigrometr AZ8706
-------------	-------	------------	--------------------	--------	-----------------------

Data ważności świadectwa wzorcowania: 19 października 2025 (zgodnie z procedurą wewnętrzną P-03).

Dalmierz:

Oznaczenie	Producent	Typ	Numer seryjny	Nr świadectwa wzorcowania	Data świadectwa wzorcowania
D-07	Leica	Dalmierz Leica Disto X310	843810759	1146.4-M11-4180-396/15	8 kwietnia 2015

Data ważności świadectwa wzorcowania: 8 kwietnia 2025 (zgodnie z procedurą wewnętrzną P-03).

Odbiornik GNSS:

Odbiornik GNSS wbudowany w miernik natężenia pola elektromagnetycznego użyty podczas pomiarów	Producent	Model
	UBlox	NEO-M8T

Odbiorniki podlegają okresowemu sprawdzeniu zgodnie z procedurą wewnętrzną P-03.

9. Wyniki pomiarów

Pole elektryczne

Nr pionu	Opis umiejscowienia pionu (punktu) pomiarowego	Wysokość pomiaru [m]	Zmierzona wartość natężenia pola elektrycznego E [V/m] ^{1,5}			Wartość natężenia pola elektrycznego powiększona o niepewność pomiaru ⁴ E [V/m]	Wskaźnikowa wartość poziomu emisji pól elektromagnetycznych W _{ME} ³	Współrzędne geograficzne pionu (punktu) pomiarowego ²
			Sonda SF-04	Sonda SF-03	SUMA			
1	GKP w odległości 36m od anteny radioliniowej az. 359°	1.0	3.7	3.7	3.7	4.6	0.16	50°51'37.8" 21°2'54.6"
2	GKP w odległości 71m od anteny radioliniowej az. 359°	2.0	2.0	2.0	2.0	2.5	0.09	50°51'39.2" 21°2'54.6"
3	GKP w odległości 23m od anteny sektorowej az. 10°	1.0	4.5	4.5	4.5	5.6	0.2	50°51'37.8" 21°2'54.6"
4	GKP w odległości 75m od anteny sektorowej az. 10°	2.0	2.2	2.2	2.2	2.7	0.1	50°51'39.2" 21°2'55.3"
5	GKP w odległości 111m od anteny sektorowej az. 10°	0.3-2.0	<1.0*	<1.0*	<1.0*	1.2	0.04	50°51'40.3" 21°2'55.3"
6	GKP w odległości 56m od anteny sektorowej az. 130°	1.0	3.5	3.5	3.5	4.4	0.16	50°51'35.6" 21°2'56.8"
7	GKP w odległości 80m od anteny sektorowej az. 130°	1.0	3.7	3.7	3.7	4.6	0.16	50°51'35.3" 21°2'57.8"
8	GKP w odległości 110m od anteny sektorowej az. 130°	2.0	2.3	2.3	2.3	2.9	0.1	50°51'34.6" 21°2'58.9"
9	GKP w odległości 27m od anteny sektorowej az. 250°	1.0	5.9	5.9	5.9	7.3	0.26	50°51'36.4" 21°2'53.2"
10	GKP w odległości 64m od anteny sektorowej az. 250°	2.0	2.3	2.3	2.3	2.9	0.1	50°51'36.0" 21°2'51.4"
11	GKP w odległości 110m od anteny sektorowej az. 250°	2.0	1.4	1.4	1.4	1.7	0.06	50°51'35.6" 21°2'49.2"
12	PKP na az. 229° w odległości 20m od anteny sektorowej az. 250°	1.0	4.3	4.3	4.3	5.4	0.19	50°51'36.4" 21°2'53.5"
13	GKP w odległości 63m od anteny radioliniowej az. 228°	2.0	3.1	3.1	3.1	3.9	0.14	50°51'35.3" 21°2'52.1"

Sprawozdanie z badań bez pisemnej zgody laboratorium nie może być powielane inaczej niż w całości.
 Wynik przedstawione w niniejszym sprawozdaniu odnoszą się wyłącznie do badanego obiektu i do warunków i konfiguracji urządzeń w dniu wykonywania pomiarów.

14	PKP na az. 277° w odległości 90m od anteny sektorowej az. 250°	2.0	4.0	4.0	4.0	5	0.18	50°51'37.1" 21°2'49.9"
15	PKP na az. 20° w odległości 89m od anteny sektorowej az. 10°	2.0	1.6	1.6	1.6	2	0.07	50°51'39.6" 21°2'56.0"
16	PKP na az. 125° w odległości 101m od anteny sektorowej az. 130°	2.0	3.7	3.7	3.7	4.6	0.16	50°51'34.9" 21°2'58.9"
17	PKP na az. 137° w odległości 99m od anteny sektorowej az. 130°	2.0	2.4	2.4	2.4	3	0.11	50°51'34.6" 21°2'58.2"
-	GKP w odległości 207m od anteny sektorowej az. 250°	2.0	1.1	1.1	1.1	1.4	0.05	50°51'34.6" 21°2'44.5"
-	GKP w odległości 205m od anteny sektorowej az. 10°	2.0	1.1	1.1	1.1	1.4	0.05	50°51'43.6" 21°2'56.4"

Pole magnetyczne (wyznaczone na podstawie pomiaru wartości natężenia pola elektrycznego)

Nr pionu	Opis umiejscowienia pionu (punktu) pomiarowego	Wysokość pomiaru [m]	Wartość natężenia pola magnetycznego H [A/m] ¹			Wartość natężenia pola magnetycznego powiększona o niepewność pomiaru ⁴ H [A/m]	Wskaźnikowa wartość poziomu emisji pól elektromagnetycznych WM _H ³	Współrzędne geograficzne pionu (punktu) pomiarowego ²
			Sonda SF-04	Sonda SF-03	SUMA			
1	GKP w odległości 36m od anteny radioliniowej az. 359°	1.0	0.010	0.010	0.010	0.012	0.17	50°51'37.8" 21°2'54.6"
2	GKP w odległości 71m od anteny radioliniowej az. 359°	2.0	0.005	0.005	0.005	0.007	0.09	50°51'39.2" 21°2'54.6"
3	GKP w odległości 23m od anteny sektorowej az. 10°	1.0	0.012	0.012	0.012	0.015	0.2	50°51'37.8" 21°2'54.6"
4	GKP w odległości 75m od anteny sektorowej az. 10°	2.0	0.006	0.006	0.006	0.007	0.1	50°51'39.2" 21°2'55.3"
5	GKP w odległości 111m od anteny sektorowej az. 10°	0.3-2.0	<0.003*	<0.003*	<0.003*	0.003	0.05	50°51'40.3" 21°2'55.3"
6	GKP w odległości 56m od anteny sektorowej az. 130°	1.0	0.009	0.009	0.009	0.012	0.16	50°51'35.6" 21°2'56.8"
7	GKP w odległości 80m od anteny sektorowej az. 130°	1.0	0.010	0.010	0.010	0.012	0.17	50°51'35.3" 21°2'57.8"
8	GKP w odległości 110m od anteny sektorowej az. 130°	2.0	0.006	0.006	0.006	0.008	0.1	50°51'34.6" 21°2'58.9"

Sprawozdanie z badań bez pisemnej zgody laboratorium nie może być powielane inaczej niż w całości.
 Wynik przedstawione w niniejszym sprawozdaniu odnoszą się wyłącznie do badanego obiektu i do warunków i konfiguracji urządzeń w dniu wykonywania pomiarów.

9	GKP w odległości 27m od anteny sektorowej az. 250°	1.0	0.016	0.016	0.016	0.019	0.27	50°51'36.4" 21°2'53.2"
10	GKP w odległości 64m od anteny sektorowej az. 250°	2.0	0.006	0.006	0.006	0.008	0.1	50°51'36.0" 21°2'51.4"
11	GKP w odległości 110m od anteny sektorowej az. 250°	2.0	0.004	0.004	0.004	0.005	0.06	50°51'35.6" 21°2'49.2"
12	PKP na az. 229° w odległości 20m od anteny sektorowej az. 250°	1.0	0.011	0.011	0.011	0.014	0.19	50°51'36.4" 21°2'53.5"
13	GKP w odległości 63m od anteny radioliniowej az. 228°	2.0	0.008	0.008	0.008	0.01	0.14	50°51'35.3" 21°2'52.1"
14	PKP na az. 277° w odległości 90m od anteny sektorowej az. 250°	2.0	0.011	0.011	0.011	0.013	0.18	50°51'37.1" 21°2'49.9"
15	PKP na az. 20° w odległości 89m od anteny sektorowej az. 10°	2.0	0.004	0.004	0.004	0.005	0.07	50°51'39.6" 21°2'56.0"
16	PKP na az. 125° w odległości 101m od anteny sektorowej az. 130°	2.0	0.010	0.010	0.010	0.012	0.17	50°51'34.9" 21°2'58.9"
17	PKP na az. 137° w odległości 99m od anteny sektorowej az. 130°	2.0	0.006	0.006	0.006	0.008	0.11	50°51'34.6" 21°2'58.2"
-	GKP w odległości 207m od anteny sektorowej az. 250°	2.0	0.003	0.003	0.003	0.004	0.05	50°51'34.6" 21°2'44.5"
-	GKP w odległości 205m od anteny sektorowej az. 10°	2.0	0.003	0.003	0.003	0.004	0.05	50°51'43.6" 21°2'56.4"

GKP – Główny Kierunek Pomiarowy

PKP – Pomocniczy Kierunek Pomiarowy

¹ wyniki oznaczone * są wynikami poniżej czułości zestawu pomiarowego i są wynikami spoza zakresu akredytacji. Do obliczenia wyniku skorygowanego przyjęto wartość skorelowaną z rzeczywistym wynikiem pomiaru - dolną granicę akredytowanego zakresu pomiarowego metody

² współrzędne geograficzne pozyskane metodą pomiaru bezpośredniego

³ do wyznaczenia wartości wskaźnikowej W_{Me} i W_{Mh} przyjęto na podstawie uzgodnień z klientem oraz rozpoznania źródeł, jako wartości dopuszczalne pola elektrycznego i magnetycznego odpowiednio 28 V/m i 0,073 A/m.

⁴ do wyznaczenia niepewności dla wyników poniżej czułości zestawu pomiarowego, przyjęto niepewność dla minimalnej wartości z zakresu pomiarowego.

⁵ maksymalna wartość chwilowa

Sprawozdanie z badań bez pisemnej zgody laboratorium nie może być powielane inaczej niż w całości.
 Wynik przedstawione w niniejszym sprawozdaniu odnoszą się wyłącznie do badanego obiektu i do warunków i konfiguracji urządzeń w dniu wykonywania pomiarów.

Niepewność oszacowano zgodnie z dokumentem P-03 „Procedura nadzoru nad wyposażeniem” w postaci niepewności rozszerzonej wynikającej z niepewności standardowej pomnożonej przez współczynnik rozszerzenia $k=2$.
Całkowita szacowana niepewność rozszerzona składowej E wynosi odpowiednio:
sonda SF-04: 24.4% dla częstotliwości do 4 GHz, sonda SF-03: 28.8% dla częstotliwości do 4 GHz

Umiejscowienie pionów (punktów) pomiarowych przedstawiono w załączniku nr 2 do niniejszego sprawozdania.

10. Omówienie wyników pomiarów

W związku z tym, że żadna z wartości zmierzonych, udokumentowanych w tabelach w pkt. 9, uzyskanych w skutek zastosowania pomiaru szerokopasmowego, powiększonego o rozszerzoną niepewność pomiaru U dla współczynnika rozszerzenia $k = 2$ nie przekroczyła 70% najniższej dopuszczalnej wartości składowej elektrycznej lub magnetycznej pola dla objętych pomiarami zakresów częstotliwości, nie uwzględnia się poprawek pomiarowych.

W wyniku zastosowania sposobu sprawdzenia dotrzymania dopuszczalnych poziomów pól elektromagnetycznych w środowisku, zgodnie pkt 25 ppkt 1 Rozporządzenia Ministra Klimatu z dnia 17 lutego 2020 r. (Dz. U. 2022, poz. 2630), w związku z tym, że żadna z wartości wskaźnikowych, udokumentowanych w tabelach w pkt. 9 nie przekracza wartości 1, stwierdza się, że w miejscach, w których wykonano pomiary w otoczeniu instalacji radiokomunikacyjnej 1925 (27146N!) ŚWIĘTY KRZYŻ (KKI_NOWASLUPIA_SWIETYKRZYZ), dopuszczalne poziomy pól elektromagnetycznych w środowisku należy uznać za dotrzymane.

11. Podstawa prawna

- 1) Ustawa z dnia 27 kwietnia 2001 r. Prawo ochrony środowiska (Dz.U. 2022 poz. 2556)
- 2) Rozporządzenie Ministra Zdrowia z dnia 17 grudnia 2019 r. w sprawie dopuszczalnych poziomów pól elektromagnetycznych w środowisku (Dz. U. 2019, poz. 2448)
- 3) Rozporządzenie Ministra Klimatu z dnia 17 lutego 2020 r. w sprawie sposobów sprawdzania dotrzymania dopuszczalnych poziomów pól elektromagnetycznych w środowisku (Dz. U. 2022, poz. 2630),
- 4) Akredytacja nr AB 419 wydana przez Polskie Centrum Akredytacji (wydanie 22, z dnia 9 stycznia 2024 r.)

12. Spis załączników

- Załącznik 1. Lokalizacja obiektu badań
- Załącznik 2. Usytuowanie pionów (punktów) pomiarowych
- Załącznik 3. Dokumentacja fotograficzna obiektu badań

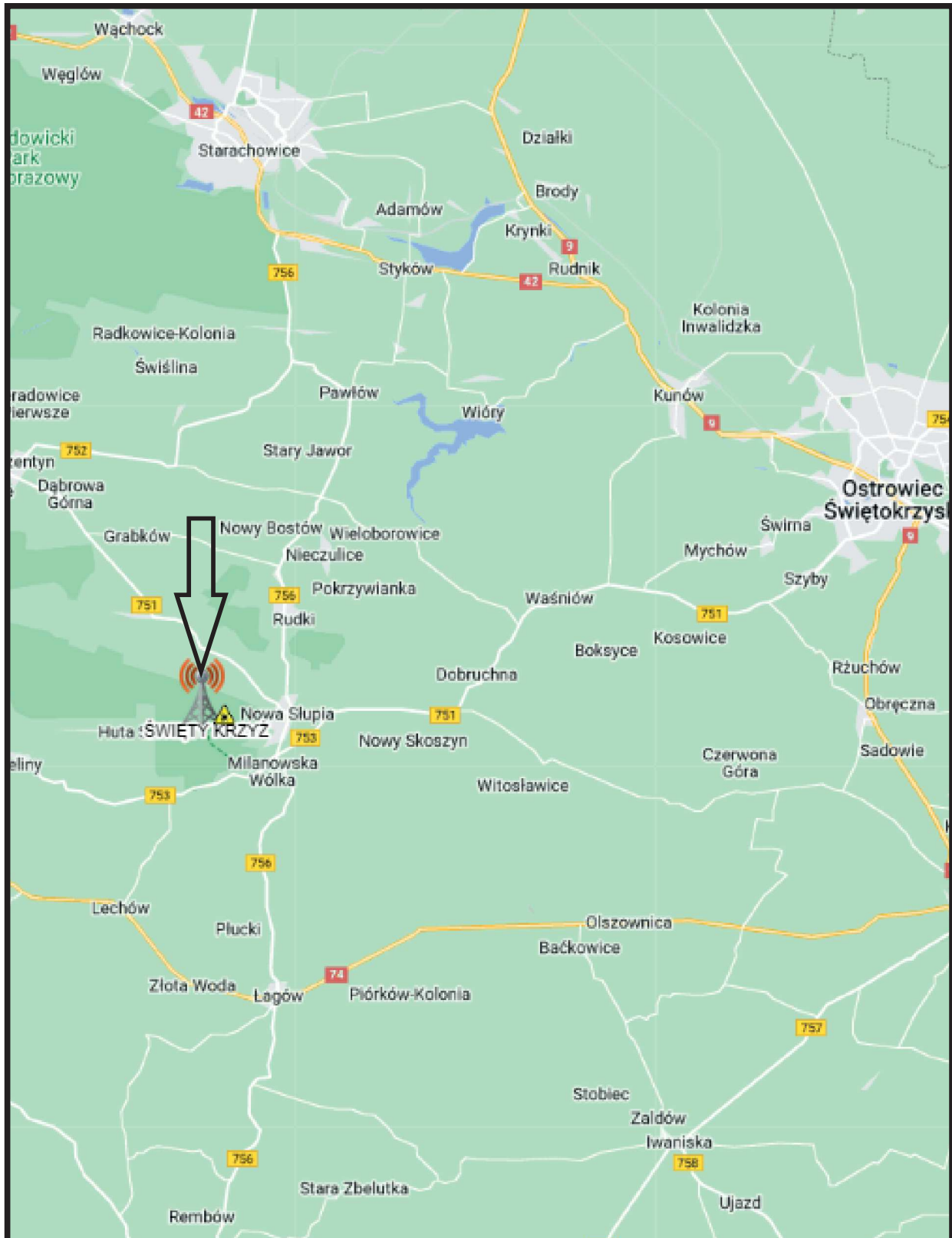
13. Data wydania i autoryzowania sprawozdania

Obliczenia i sprawozdanie wykonał :

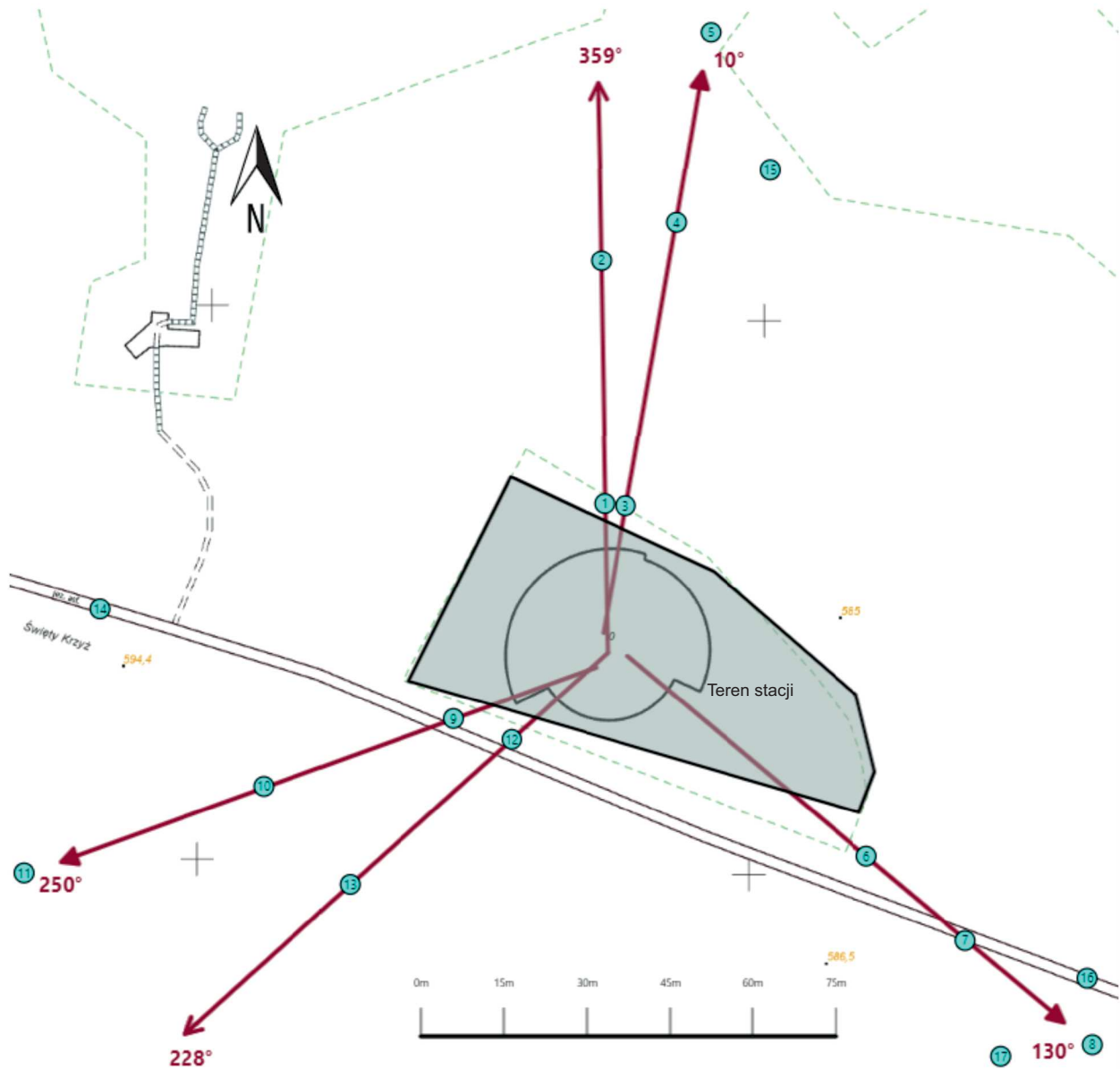
Sprawozdanie autoryzował:





Koniec sprawozdania

Sprawozdanie z badań bez pisemnej zgody laboratorium nie może być powielane inaczej niż w całości.
Wynik przedstawione w niniejszym sprawozdaniu odnoszą się wyłącznie do badanego obiektu i do warunków i konfiguracji urządzeń w dniu wykonywania pomiarów.



Załącznik nr 1	INSTALACJA RADIOKOMUNIKACYJNA Orange Polska S.A. 1925 (27146N!) ŚWIĘTY KRZYŻ (KKI_NOWASŁUPIA_SWIETYKRZYŻ) Lokalizacja instalacji radiokomunikacyjnej
----------------	---



Załącznik nr 2	<p style="text-align: center;">Instalacja radiokomunikacyjna Orange Polska S.A. KKI_NOWASLUPIA_SWIETYKRZYZ (27146N!) Usytuowanie pionów pomiarowych w otoczeniu instalacji radiokomunikacyjnej</p>
	<p>Legenda:</p> <div style="display: flex; justify-content: space-around; align-items: flex-start;"> <div style="text-align: center;">  Brak dostępu </div> <div style="text-align: center;">  Pion pomiarowy </div> <div style="text-align: center;">  Kierunek oddziaływania anten sektorowych </div> <div style="text-align: center;">  Kierunek oddziaływania anten radioliniowych </div> </div>



Załącznik nr 3

INSTALACJA RADIOKOMUNIKACYJNA Orange Polska S.A. 1925 (27146N!) ŚWIĘTY KRZYŻ
(KKI_NOWASLUPIA_SWIETYKRZYZ)
Zdjęcia instalacji radiokomunikacyjnej